



سنجش از دور و GIS ایران



سنجش از دور و GIS ایران سال پانزدهم، شماره چهارم، زمستان ۱۴۰۲
Vol.15, No. 4, Winter 2023 Iranian Remote Sensing & GIS

۱۰۱-۱۱۸

مقاله پژوهشی

تأثیر طوفان‌های گردوغبار نمکی در سلامت گیاهان در حوضهٔ شرقی دریاچه ارومیه

فریبا گل ریحان^۱، خلیل ولیزاده کامران^۲، داوود مختاری^۳، علی‌اکبر رسولی^۴

۱. دانشجوی دکتری گروه جغرافیا، واحد مرند، دانشگاه آزاد اسلامی مرند

۲. استاد دانشکده برنامه‌ریزی و علوم محیطی، دانشگاه تبریز، تبریز

تاریخ پذیرش مقاله: ۱۴۰۱/۱۰/۲۸

تاریخ دریافت مقاله: ۱۴۰۱/۰۹/۱۲

چکیده

دریاچه ارومیه یکی از بزرگ‌ترین دریاچه‌های آب شور در جهان است که متأسفانه در حال خشک شدن است. این مسئله خطرها و نگرانی‌های بسیاری را به‌ویژه در ارتباط با گردوغبارهای نمکی در پهنه‌های خشک‌شده آن، به وجود آورده است. از این‌رو، در این پژوهش، سعی شد ارتباط پوشش گیاهی و گردوغبار در شهرستان‌های اطراف دریاچه ارومیه بررسی شود. در مورد گیاهان، شوری باعث بی‌نظمی‌های فیزیولوژیک، تنفس رشد، فتوسنتز، پروتئین، تنفس، تولید انرژی، پیری زودرس و کاهش آب در گیاه می‌شود. با توجه به این تأثیرات، سعی شد با استفاده از شاخص‌های مرتبط، شامل CIR، NDVI، NDWI، CRI2، GCI، MSI و PSRI سلامت کلی گیاهان ارزیابی شود. این شاخص‌ها میزان آب گیاه، تنش‌های آبی گیاه، ظرفیت فتوسنتز، رشد گیاهان و کمبود آب، میزان کلروفیل، نیتروژن و رنگدانه‌ها را که به انرژی و سلامت گیاه مربوط می‌شود، ارزیابی می‌کند. طبق این شاخص‌ها، سلامت گیاهان به‌طور کلی در وضعیت مطلوبی قرار دارد و اغلب بیشترین ارزش عددی شاخص‌ها به باغات اختصاص داشت. با استفاده از تصاویر لندست و سنتینل-۲ و شاخص NDVI، تغییرات پوشش گیاهی منطقه در بازه زمانی ۲۰۱۰ تا ۲۰۲۰ تعیین و سپس با استفاده از پایگاه داده MERRA-2 میزان غلظت گردوغبار نیز در مورد این بازه زمانی استخراج شد. نتایج نشان‌دهنده این بود که میانگین NDVI در منطقه مورد مطالعه، از روندی ثابت با میانگین کلی ۰/۲۹۵۷ می‌شود. برای اساس بیشترین میزان NDVI (۰/۳۴۹۵) میانگین میزان NDVI به سال ۲۰۱۸ و کمترین میزان (۰/۲۵۷۹) به سال ۲۰۱۳ تعلق دارد. همچنین برای بررسی میزان ارتباط پوشش گیاهی و گردوغبار، از دو روش رگرسیون خطی و لگاریتمی استفاده شد و نتایج نشان داد، براساس رگرسیون خطی (۰/۷۷۰۳) و لگاریتمی (۰/۷۹۱۵)، بیشترین ضریب تبیین بین دو شاخص یادشده در ماه مه بوده است. مطالعه جامع شاخص‌های سلامت گیاهی و ارتباط آن با رویدادهای طوفان‌های گردوغبار از مزایای این روش پیشنهادی به‌شمار می‌رود.

کلیدواژه‌ها: گردوغبار، شاخص‌های سلامت گیاه، شوری، دریاچه ارومیه.

* نویسنده مکاتبه‌کننده: گروه سنجش از دور و سیستم اطلاعات جغرافیایی دانشگاه تبریز. تلفن: ۰۹۱۴۴۱۲۳۸۴۹

Email: valizadeh@tabrizu.ac.ir

<https://orcid.org/0000-0003-4648-842X>

<https://dx.doi.org/10.48308/gisj.2023.103099>



Copyright: © 2023 by the authors. Submitted for possible open access publication under the terms and conditions of the Creative Commons Attribution (CC BY) license (<https://creativecommons.org/licenses/by/4.0/>).

۱- مقدمه

پوشش گیاهی در فصل بهار در مغولستان، همبستگی متوسطی (۰/۵۵) وجود دارد. تن^۳ (۲۰۱۶) ارتباط بین پوشش گیاهی و شدت گردوغبار را در کشور چین بررسی کرد. نتایج تحلیل رگرسیونی چندگانه او بیان می‌کرد ارتباط پوشش گیاهی و واریانس شدت گردوغبار، در زیر منطقه معتدل مرطوب تا منطقه معتدل خشک، ضعیف‌تر است و دلیل آن نیز کاهش میانگین NDVI، در چهار نقطه از منطقه مورد مطالعه، بیان شده است. سوفو^۴ و همکاران (۲۰۱۸)، با استفاده از تصاویر سنجنده AVHRR، عملکرد پوشش گیاهی را دربرابر بارش و شیوع طوفان گردوغبار، در مناطق کویری گبی، پایش کردند. در این پژوهش، همبستگی بین بارش و ناهنجاری‌های NDVI تحلیل شد و نتایج تحلیل داده‌ها نشان داد تغییرات ناهنجاری‌های NDVI در منطقه شرقی بیابان گبی، با ناهنجاری‌های بارش در این دوره مطابقت دارد. با این حال در جنوب‌غرب این بیابان، صرف‌نظر از میزان بارش، NDVI برویزه از سال ۲۰۱۰ کاهش یافته است. این نتیجه نشان می‌دهد پوشش گیاهی در این منطقه بیشتر از مناطق دیگر تخریب شده است. خو HF^۵ و همکاران (۲۰۱۹) رابطه بین ساختار طوفان گردوغبار، پارامترهای آب‌وهوایی و شاخص NDVI را در مناطق خشک ایران مرکزی، با استفاده از روش رگرسیون لجستیک، بررسی کردند. طبق نتایج این تحقیق، بیشترین فرسایش بادی و طوفان گردوغباری در فصل بهار اتفاق افتاده است. این محققان (۲۰۲۰) همچنین تغییرات مکانی و فصلی رخدادهای طوفان شن و ارتباط آن را با شرایط جویی و پوشش گیاهی، در مناطق نیمه‌خشک مرکزی ایران، بررسی کردند. آنها، در این پژوهش، از تصاویر مادیس و شاخص پوشش گیاهی بارزسازی شده (EVI) برای بررسی ارتباط پوشش گیاهی و طوفان شن استفاده کردند.

-
1. Yan
 2. Fan
 3. Tan
 4. Sofue
 5. Khusfī

سوء‌مدیریت منابع آب زیرزمینی، توسعه بیش‌ازحد زمین‌های کشاورزی و احداث سدها در مناطق خشک و نیمه‌خشک منجر به افزایش فرسایش زمین و به‌دلیل خشک‌شدن گسترده دریاچه‌ها، باعث نمایانشدن بستر آنها شده است؛ درنتیجه، مناطق اطراف حوضه آبهای سطحی خشک‌شده و تالاب‌ها با طوفان‌های ماسه و گردوغبار بیشتری مواجه می‌شوند. این مسئله، در مناطقی مانند دریای آرال در آسیای میانه (Xi & Sokolik, 2016; Indoitu et al., 2015; Issanova et al., 2015; Löw et al., 2013; Borlina & Rennó, 2017; Moore, 2016; Sweeney et al., 2016)، دریاچه‌های اونز، آلبرت و زرد در امریکای شمالی (Strong et al., 2011) و دریاچه ایر در استرالیا (Behrooz et al., 2017; Rashki et al., 2012, 2013) به صورت وسیع اتفاق می‌افتد. از دیگر دریاچه‌هایی که اخیراً پوشش گیاهی حوضه‌های اطراف آن دچار تغییر گشته و میزان طوفان‌های نمکی در آن افزایش یافته، دریاچه ارومیه است. ارومیه دومین دریاچه نمکی دنیاست و ارتفاع آب آن، از ۱۲۷۶ متر در سال ۱۹۹۹، به ۱۲۷۰ متر در ۲۰۱۹ کاهش یافته است (Ahmady-Birgani et al., 2020). بسیاری درباره گردوغبار و طوفان‌های نمکی، در سطح ایران و جهان، انجام شده که در ادامه، به چند مورد از آنها اشاره می‌کنیم.

یان^۱ و همکاران (۲۰۱۱) تأثیر پوشش گیاهی در انبیاشت گردوغبار را در استپی نیمه‌خشک، در شمال چین، ارزیابی کردند. نتایج بیانگر این بود که مناطق دارای پوشش گیاهی بیشتر می‌توانند، با به‌دانداختن گردوغبار موجود در هوا، در استپ‌های نیمه‌خشک مواد مغذی بیشتری به‌دست آورند. فن^۲ و همکاران (۲۰۱۴)، با استفاده از تصاویر سنجنده مادیس و ساختار NDVI، ارتباط پوشش گیاهی و طوفان‌های گردوغباری را در اوایل سبزشدن پوشش گیاهی ارزیابی کردند. نتایج پژوهش آنها نشان داد، بین طوفان‌های گردوغبار و

شد. نتایج نشان دادند شناسایی گردوغبار روی گیاه، با استفاده از دو روش ولج و مولتی‌تیپر، با اطمینان بیشتری انجام می‌شود؛ بنابراین با توجه به پیشینهٔ پژوهش و مباحث مطرح شده در این تحقیق، برآنمی با استفاده از تصاویر لندست و سنتینل و محاسبهٔ شاخص‌های سلامت گیاهی و شاخص NDVI، تأثیرگذاری طوفان‌های نمکی و پوشش گیاهی در یکدیگر را در حوضهٔ دریاچه ارومیه، ارزیابی کنیم.

۲- منطقهٔ مورد مطالعه

منطقهٔ مورد مطالعه شامل حوضهٔ آبریز دریاچه ارومیه، در شمال‌غرب کشور است که در ۳۶ درجه و ۱۱ دقیقهٔ تا ۳۹ درجه و ۲۶ دقیقهٔ عرض شمالی و ۴۴ درجه و ۱۰ دقیقهٔ تا ۴۸ درجه و ۲۱ دقیقهٔ طول شرقی از نصف‌النهار مبدأ قرار دارد. این منطقه، از شمال به کشورهای آذربایجان و ارمنستان، از شرق به استان اردبیل، از جنوب به استان‌های زنجان و کردستان و از غرب به کشور ترکیه محدود می‌شود.

۳- مواد و روش تحقیق

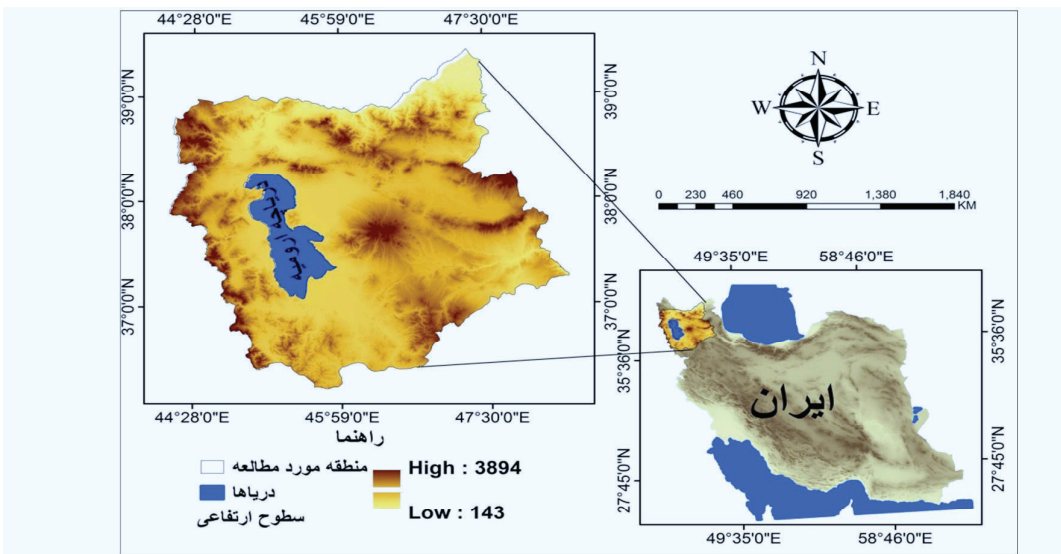
داده‌های ماهواره‌ای استفاده شده در این پژوهش شامل تصاویر تهیه شده از سنجنده TM و ماهواره لندست-۵ (با توجه به زمان مطالعه) و تصاویر سنتینل-۲ می‌شود که از سایت سازمان زمین‌شناسی امریکا^۱، در مسیر ۱۶۴ و گذر ۳۴، دانلود شده است. همهٔ تصاویر ژئورفرنس شده‌اند و سیستم مختصات تصاویر UTM و بیضوی مرجع WGS1984 است. برای بررسی پوشش گیاهی نیز، تصاویر در تیر و مرداد (اوت و زوئیه) دریافت شد. تفاوت ابعاد پیکسل سایز تصاویر، از طریق هماندازه کردن پیکسل‌ها با استفاده از نرم‌افزار، رفع شد.

-
- 1. Bahrami
 - 2. Pourhashemi
 - 3. Souhrabi
 - 4. Ghadimi
 - 5. www.glovis.usgs.gov

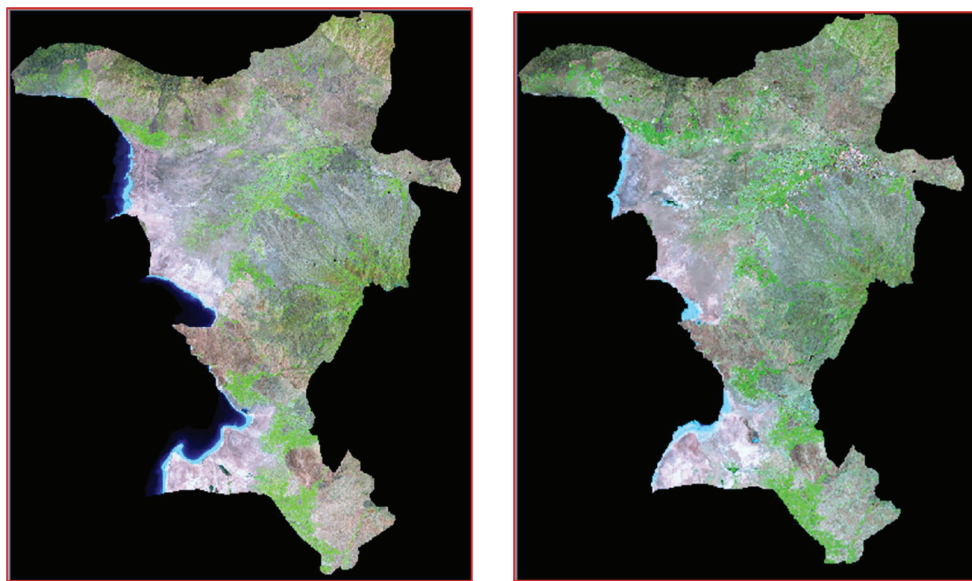
نتایج مشخص کرد، به‌جز فصل بهار که میان پوشش گیاهی و گردوغبار ارتباط منفی پررنگی وجود دارد (همبستگی -0.70)، در دیگر فصل‌ها بین این دو ارتباط مثبت پررنگی دیده می‌شود. بهرامی^۲ و همکاران (۲۰۱۲) موقع طوفان‌های گردوغبار در استان خوزستان را مدل‌سازی زمانی-مکانی کردند. آنها، با استفاده از تصاویر مادیس، شاخص NDVI را بین سال‌های ۲۰۰۰-۲۰۰۸ محاسبه کردند و به این نتیجه رسیدند که تخریب پوشش گیاهی، در طوفان‌های گردوغبار با منشأ داخلی در این استان، تأثیر چشمگیری گذاشته است و خاک‌های شور و قلیاً بیشتر از سایر خاک‌ها مستعد رهاسازی ذرات غبار به جو هستند. پورهاشمی^۳ و همکاران (۲۰۱۴) در استان خراسان رضوی، با استفاده از سیستم اطلاعات جغرافیایی و سنجش از دور، ارتباط میان پوشش گیاهی و تعداد و موقع طوفان‌های گردوغبار را ارزیابی کردند. مطابق نتایج این پژوهش، بین تغییرات پوشش گیاهی و تعداد و موقع گردوغبار در استان خراسان رضوی ارتباط نزدیکی وجود دارد و با افزایش و کاهش پوشش گیاهی، تعداد و موقع گردوغبار نیز دچار تفاوت می‌شود. همچنین میزان گردوغبار، در قیاس با گذشته، افزایش یافته و بین سال‌های مورد بررسی، سال ۲۰۰۸ بیشترین و سال ۲۰۰۵ کمترین میزان وقوع گردوغبار را داشته است. سهرابی^۴ و همکاران (۲۰۱۷) تأثیرات پوشش گیاهی در موقع گردوغبار را در اکوسیستم‌های مناطق خشک استان اصفهان ارزیابی کردند. نتایج به دست آمده از تحلیل رگرسیونی نشان داد تعداد و موقع گردوغبار با میزان پراکنش پوشش گیاهی ارتباط نزدیکی دارد و با کاهش پوشش گیاهی، بر میزان گردوغبار افزوده می‌شود. قدیمی^۵ و همکاران (۲۰۱۸)، با استفاده از داده‌های سنجش از دوری در شهر اهواز، تأثیرات گردوغبار را در رفتار طیفی گیاهان ارزیابی کردند. در این پژوهش، از روش‌های غیرپارامتریک آنالیز طیفی مانند پریوودگرام، ولج و مولتی‌تیپر برای ارزیابی تأثیر گردوغبار استفاده

دریاچه آبی بسیار تیره و نمکزارها آبی روشن دیده می‌شود. ابتدا در محیط نرم‌افزار ERDAS، روش‌نایاب تصاویر مورد نظر یکسان شد و سپس تصاویر موزاییک شد و درآهایت، ترکیب باندهای روی تصاویر اعمال شد (شکل ۲). تصاویر، برای استخراج عوارض، وارد نرم‌افزار eCognition و مراحل زیر روی آنها انجام شد.

به‌دلیل وسعت منطقه مورد مطالعه و ازآجاكه یک تصویر کل منطقه را پوشش نمی‌دهد، از پنج تصویر سنتیل و سه تصویر لندست و ترکیب باندهای ۳، ۴ و ۵ در مدل رنگی RGB استفاده شد. در این ترکیب رنگی، پوشش گیاهی سالم سبز روشن و خاک‌ها بنفش است؛



شکل ۱. منطقه مورد مطالعه



شکل ۲. ترکیب رنگی ۵۴۳ تصویر سنتیل ۲۰۱۹ (سمت راست) و ترکیب رنگی ۵۴۳ تصویر لندست ۲۰۲۰ (سمت چپ)

نرم‌افزار eCognition، پوشش‌های گیاهی که NDVI بیشتر از ۰/۴ داشته‌ند با استفاده از Assian class و حد آستانه استخراج شد. از کلاس عارضه به همراه ارزش دیگر ARC MAP شاخص‌ها خروجی گرفته شد و در محیط شاخص‌های موردنظر طبقه‌بندی شدند. پوشش گیاهی، براساس NDVI در دو کلاس پوشش گیاهی خوب (۰/۵۵-۰/۴۰) و پوشش گیاهی متراکم و غنی که اغلب شامل باغات می‌شود (۰/۹۹-۰/۵۵) قرار می‌گیرد. نقشهٔ شکل ۳، با توجه به موقعیت باغات استخراج شده است. بیشترین مقدار NDVI به باغات و مقدار عددی کمتر NDVI به زمین‌های کشاورزی اطراف باغات تعلق دارد.

۴-۲- شاخص تفاضلی نرمال شده آب (NDWI)^۴
این شاخص از شاخص‌های میزان آب پوشش گیاهی است. بیشترین ارزش عددی این شاخص نشان‌دهنده محتوای آب بیشتر پوشش گیاهی است. این شاخص در برابر تغییرات میزان آب گیاه حساس است. از این شاخص برای بررسی پوشش جنگلی مطالعات پوشش گیاهی متراکم استفاده می‌شود و مقدار این شاخص بین ۱-۱ تا ۱ است. شاخص مورد نظر با استفاده از باندهای ۸ و ۱۲ سنتیل محسوب شده است (Gao, 2011).

$$\text{NDWI} = (\text{NIR-SWIR}) / (\text{NIR+SWIR}) \quad (1)$$

طبق نقشهٔ شکل ۴، پوشش گیاهی در سه کلاس قرار می‌گیرد؛ پوشش گیاهی ضعیف دارای مقادیر عددی منفی (فقدان آب) در این شاخص است. زمین‌های کشاورزی با مقادیر متوسط که در جنوب‌شرق و جنوب دریاچه ارومیه قرار دارند و باغات که اغلب ارزش عددی بالایی در این شاخص دارند، از محتوای آبی بسیار بالا برخوردارند.

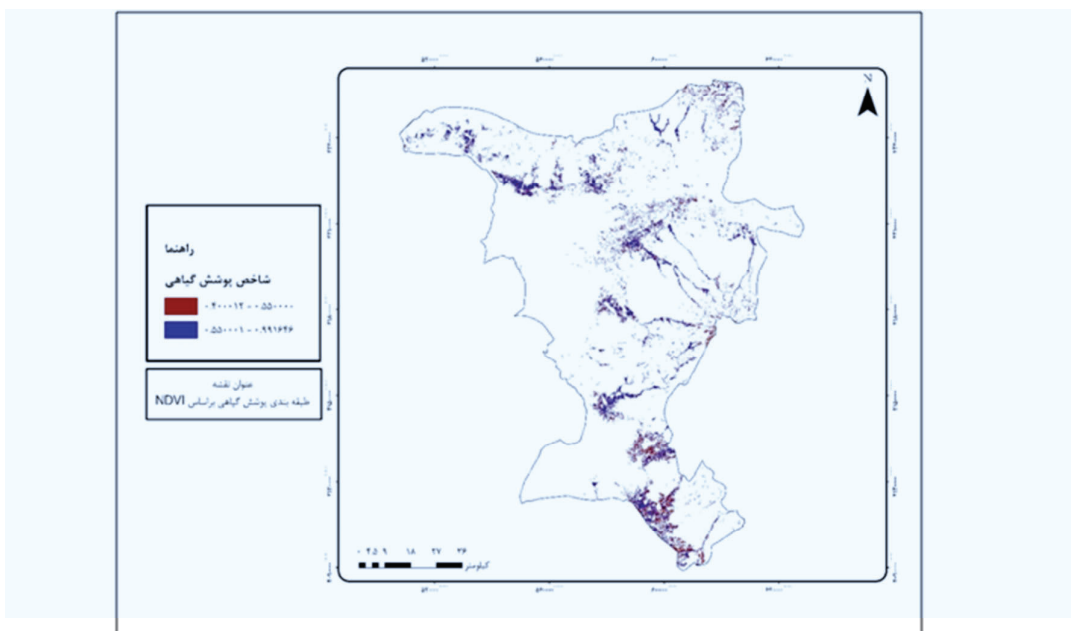
-
1. Normalized Difference Vegetation Index
 2. Tucker
 3. Lanfredi
 4. Normalized Difference Water Index

۴- شاخص‌های محاسبه سلامت گیاهان

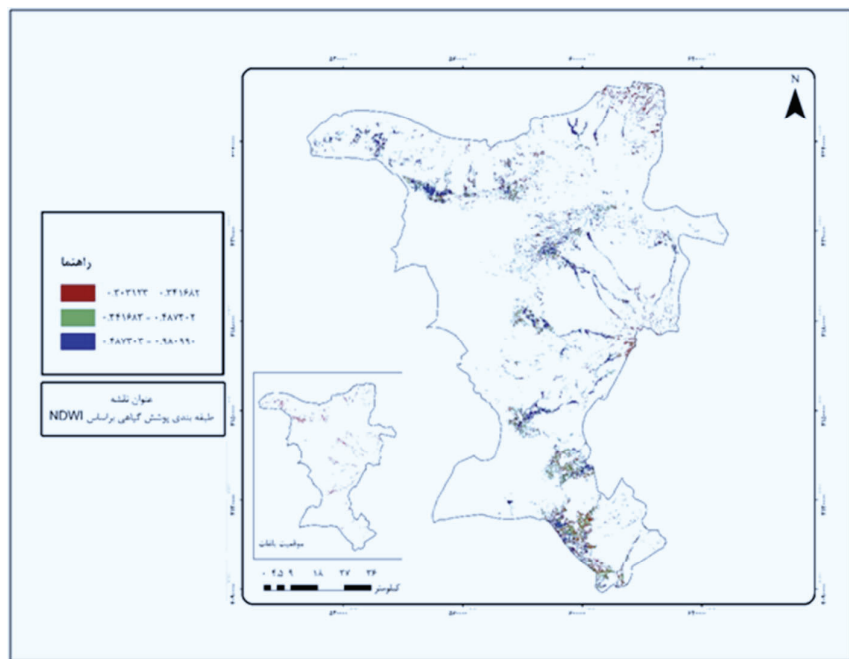
۴-۱- شاخص نرمال شده پوشش گیاهی (NDVI)

شاخص NDVI^۱ بر این حقیقت استوار است که کلروفیل موجود در ساختار گیاهان نور قرمز را جذب و لایه مزوپیل Pettorelli et al., 2005; Adamchuk & Schepers, 2004 مستقیم وضعیت اقلیمی در زیست‌توده و الگوهای فنولوژی پوشش گیاهی با NDVI تخمین‌زده شده است. عوامل بسیاری همچون ساختار گیاهی، تأثیر متقابل با تاج پوشش گیاهی، ارتفاع گیاه، ترکیب گونه‌های سلامت و شادابی گیاه، ویژگی‌های برگ و تنفس گیاه، توپوگرافی و ارتفاع در این شاخص تأثیرگذارد (Pettorelli et al., 2005). به بیان تاکر^۲ (۱۹۷۹)، شاخص گیاهی NDVI در پایش گیاهان بسیار مفید است. شاخص ماهواره‌ای NDVI، به دلیل همبستگی قدرتمندی که با پوشش گیاهی دارد، می‌تواند تغییرات سطح آن را اندازه‌گیری کند (Zhang et al., 2004). شاخص NDVI که از نسبت ترکیبی باندهای مادون‌قرمز و قرمز اندازه‌گیری می‌شود، به منزلهٔ شاخصی کارآ در شناسایی ظرفیت فتوسنتز و بررسی تغییرات محیط‌زیستی و بوم‌شناسی به کار می‌رود.

از دیدگاه لنفردی^۳ و همکاران (۲۰۱۵)، برای شناسایی تنفس پوشش گیاهی نیز می‌توان به شاخص NDVI اعتماد کرد زیرا، درنتیجهٔ تخریب پوشش گیاهی در سرزمین، ویژگی‌های پوشش گیاهی مانند سلامت و تراکم تغییر چشمگیری می‌یابد. شاخص NDVI می‌تواند معیاری عمومی برای بیان شرایط پوشش گیاهی محسوب شود و سلامت گیاهان را تشخیص دهد زیرا، برآثر تخریب گیاه در اکوسیستم، مقدار NDVI نیز با کاهش سبزیگی، کاهش می‌یابد. با توجه به تحقیقات، از شاخص NDVI به منزلهٔ معیاری برای ارزیابی ظرفیت فتوسنتز گیاهان و باغات استفاده شد. شاخص NDVI بین ۱-۱ و ۱+ است و هرچه به ۱+ نزدیک‌تر باشد، یعنی پوشش گیاهی متراکم‌تر و غنی‌تر است. بدین ترتیب، با استفاده از



شکل ۳. نقشه پوشش گیاهی منطقه مورد مطالعه براساس شاخص NDVI



شکل ۴. نقشه کلاس‌بندی پوشش گیاهی براساس شاخص NDWI

با توجه به نقشهٔ شکل ۵، کلاس آبی با ارزش عددی $0/0\cdot ۹۵۹۳$ تا $0/۰\cdot ۹۵۶$ دارای کمترین تنفس آبی است که طبق نقشهٔ موقعیت باغات، این کلاس به باغات منطقهٔ تعلق دارد. کلاس سبز و قرمز نیز به پوشش گیاهی ضعیف و زمین‌های کشاورزی بازمی‌گردد که در شرق، جنوب‌شرق و جنوب دریاچه قرار گرفته‌اند.

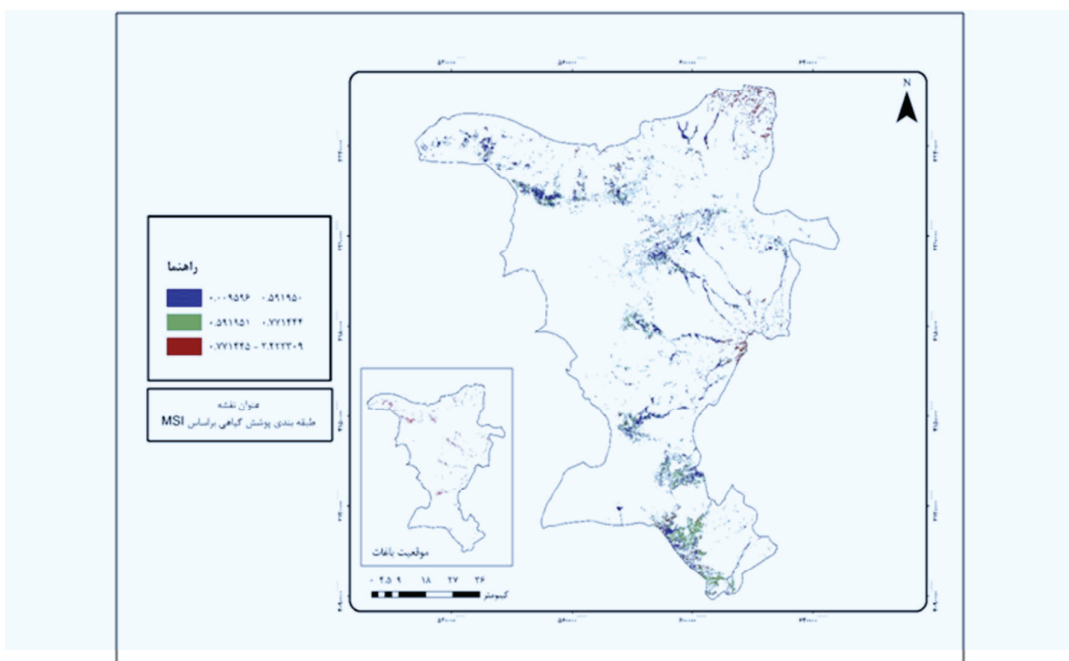
۴-۴- شاخص تفاضلی نرمال‌شده مادون قرمز (NDII) شاخص NDII^۱ نیز به تغییرات میزان آب پوشش‌های گیاهی حساس است. با افزایش میزان آب، مقدار این شاخص افزایش می‌یابد. از کاربردهای این شاخص می‌توان به مدیریت مزارع کشاورزی، پایش پوشش گیاهی و تشخیص تنفس آبی گیاهان اشاره کرد. مقدار آن بین ۱- تا ۱ است (Alavipanah, 2013).

۴-۳- شاخص تنفس رطوبت (MSI)

شاخص MSI^۱ به افزایش میزان آب گیاه حساس است. هنگامی که آب برگ‌ها افزایش می‌یابد، توانایی جذب در حوالی ۱۵۹۹ نانومتر نیز افزایش پیدا می‌کند. جذب در ۸۱۹ نانومتر به تغییرات میزان آب حساس نیست؛ بنابراین بهمنزله مرجع درنظر گرفته می‌شود. از کاربردهای این شاخص تنفس گیاهی، پیش‌بینی تولید محصول و آتش‌سوزی است. مقادیر بالای MSI نشان از تنفس آبی بیشتر (میزان آبی کمتر) دارد. مقدار این شاخص از ۰ تا بیشتر از ۳ است (Alavipanah, 2013). این شاخص برای باندهای ۸ و ۱۱ سنتینل محاسبه شده است.

$$MSI = (SWIR/NIR)$$

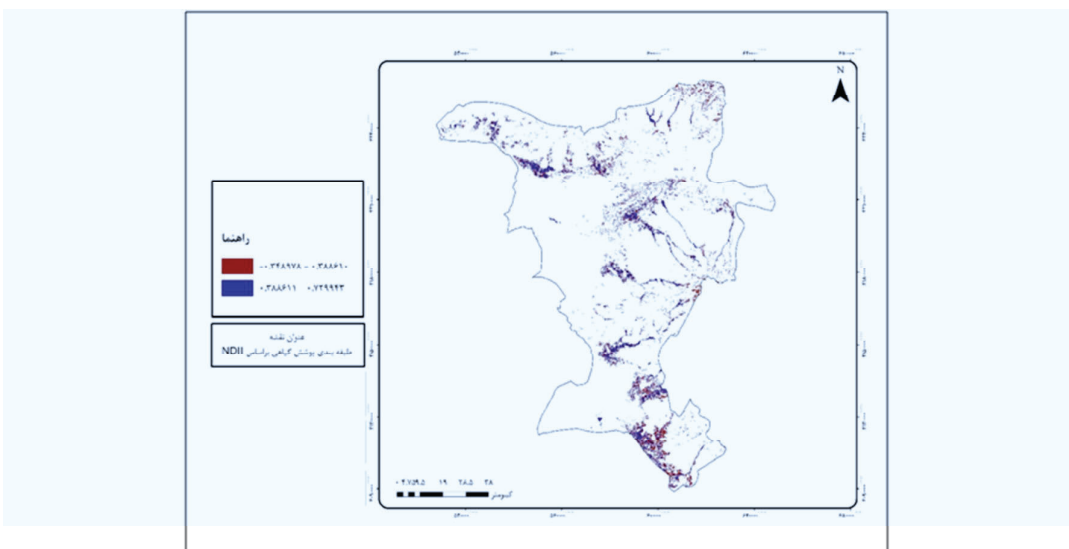
رابطه (۲)



شکل ۵. کلاس‌بندی براساس شاخص تنفس رطوبت

1. Moisture Stress Index

2. Normalized Difference Infrared Index



شکل ۶. نقشه کلاس‌بندی براساس شاخص NDII

۴-۶-شاخص ^{r}CI red-edge & CI_{green}

یکی از بهترین شاخص‌ها، برای تخمین کلروفیل، تاجپوشش گیاه یا مقدار نیتروژن گیاه است. ارزش عددی بالای این شاخص مقدار بالای کلروفیل یا نیتروژن در گیاه را می‌رساند (Gitelson et al., 2005). نیتروژن بخش مهمی از کلروفیل است و معمولاً در گیاهانی که در حال رشد سریع‌اند، به میزان بسیاری یافت می‌شود. رنگدانه‌های کلروفیل، پروتئین و سایر مولکول‌های برگ‌ها، حاوی نیتروژن است. غلظت نیتروژن در شاخه‌برگ نشان از توانایی فتوسنتز و افزایش تولید محصول دارد. شاخص‌های گیاهی حساس به کلروفیل اغلب به نیتروژن نیز حساس‌اند.

$$\text{CI}_{\text{red}} = (\rho_{850}/\rho_{730}) - 1 \quad \text{رابطه (۴)}$$

$$\text{CI}_{\text{green}} = (\rho_{730}/\rho_{530}) - 1 \quad \text{رابطه (۵)}$$

طبق نقشه شکل ۶، باغات منطقه از نظر تنش آبی در وضعیت مناسبی قرار دارند و معمولاً به کلاس آبی متعلق‌اند. کلاس‌های قرمز زمین‌های کشاورزی‌اند که ارزش عددی زیر $1/38$ و منفی دارند.

۴-۵-شاخص $^1(\text{PSRI})$

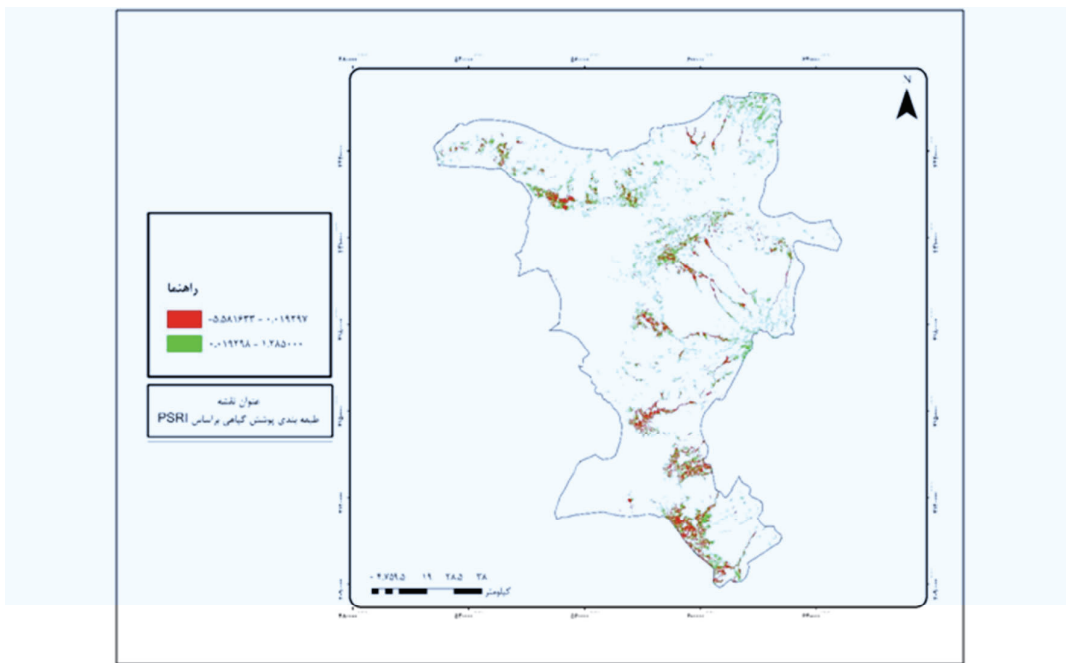
این شاخص بازتابندگی پیری گیاهان یا خشکی است (Nagler et al., 2003) و ارزش عددی بالای آن به برگ‌های پیر یا خشک و مقادیر منفی گیاهان جوان اشاره دارد. این شاخص با استفاده از باندهای ۳، ۴ و ۶ محاسبه شده است (Merzlyak et al., 1999). شاخص PSRI برای افزایش حساسیت به توده کاروتونوئیدها (مثلًاً کاروتون آلفا و بتا) طراحی شده و افزایش آن نشان‌دهنده رنگدانه کاروتونوئید و آغاز پیری است. این شاخص در پاییش سلامت گیاهان، تنفس فیزیولوژیکی و تحلیل عملکرد گیاهان کاربرد دارد (Alavipanah, 2013).

$$\text{PSRI} = (\text{Red-Green})/\text{Red Edge} \quad \text{رابطه (۳)}$$

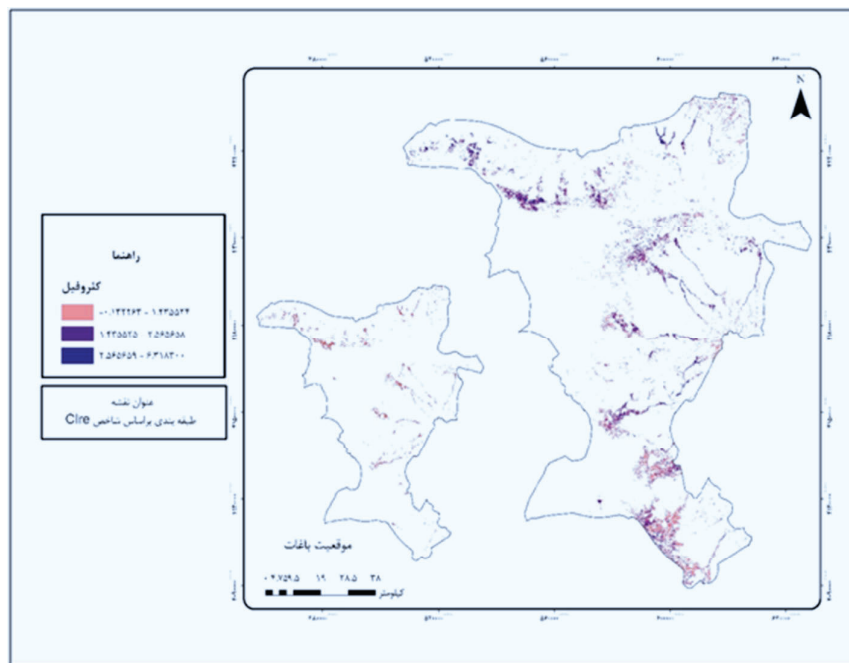
طبق نقشه شکل ۷، باغات دارای ارزش عددی منفی و بسیار کم است که پیرنبودن و سلامت گیاهان و باغات کلاس با رنگ قرمز را نشان می‌دهد.

1. Plant Senescence Reflectance Index
2. Green Cholorophyll Index

تأثیر طوفان‌های گرد و غبار نمکی در سلامت گیاهان در حوضهٔ شرقی دریاچه ارومیه



شکل ۷. نقشه کلاس‌بندی بازتابندگی پیری گیاهان



شکل ۸. کلاس‌بندی پوشش گیاهی براساس شاخص کلروفیل لبه‌قرمز

۴-۷- شاخص رنگیزه‌ها (CRI2)

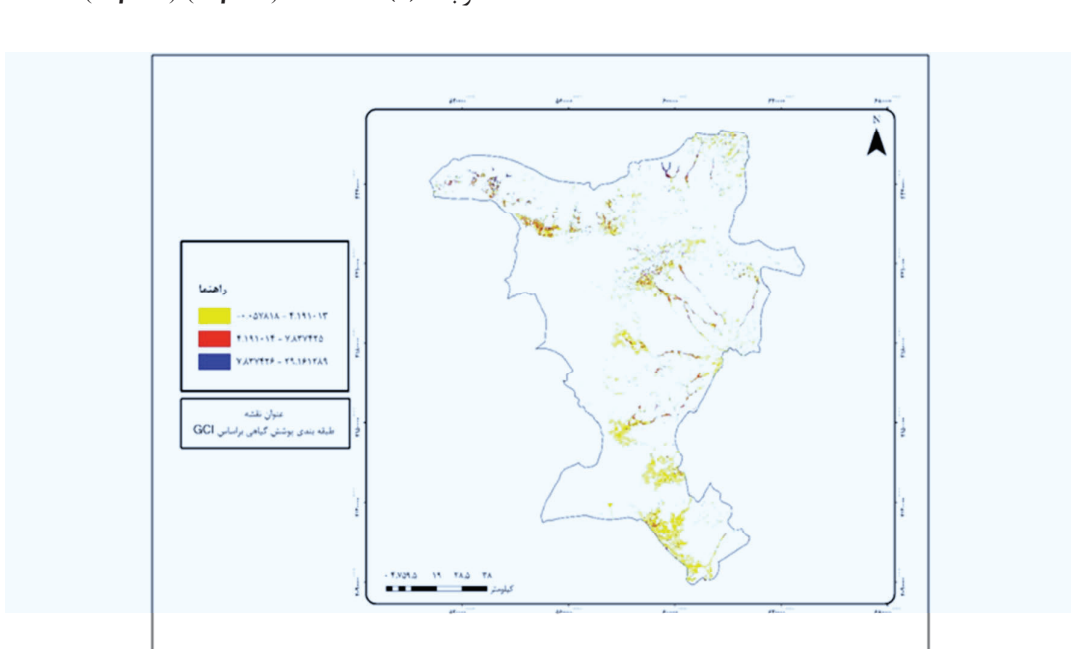
شاخص بازتابندگی کاروتونوئید (CRI2)^۱ به استرس گیاهان، هنگام کمبود آب، اشاره دارد. افزایش تجمع کاروتونوئید در ارتباط با کاهش تجمع کلروفیل در بافت گیاه است؛ بنابراین شاخص مورد نظر تفاوت بازتاب گیاهان در ارتباط با کلروفیل و کاروتونوئید را بیان می‌کند (Gitelson, 2005). بازتاب شاخص کاروتونوئید به رنگدانه‌های کاروتونوئید موجود در شاخ و برگ گیاهان حساس است. کاروتونوئید در جذب انرژی نور به گیاهان کمک می‌کند که در فتوسنتز ضروری است. گیاهان بیمار معمولاً کاروتونوئید تجمعي کمتری دارند. مقدار بالای این شاخص نشان دهنده کاروتونوئید زیاد در گیاه است (Gitelson at al., 2005). مقدار زیاد CRI2 به معنی غلظت بالای کاروتونوئید در قیاس با کلروفیل است. این شاخص با استفاده از رابطه (۶) محاسبه می‌شود. در این محاسبه، از باندهای ۲ و ۵ لندست استفاده شده است.

$$\text{CRI2} = \frac{1}{\rho_{660}} - \frac{1}{\rho_{730}}$$

رابطه (۶)

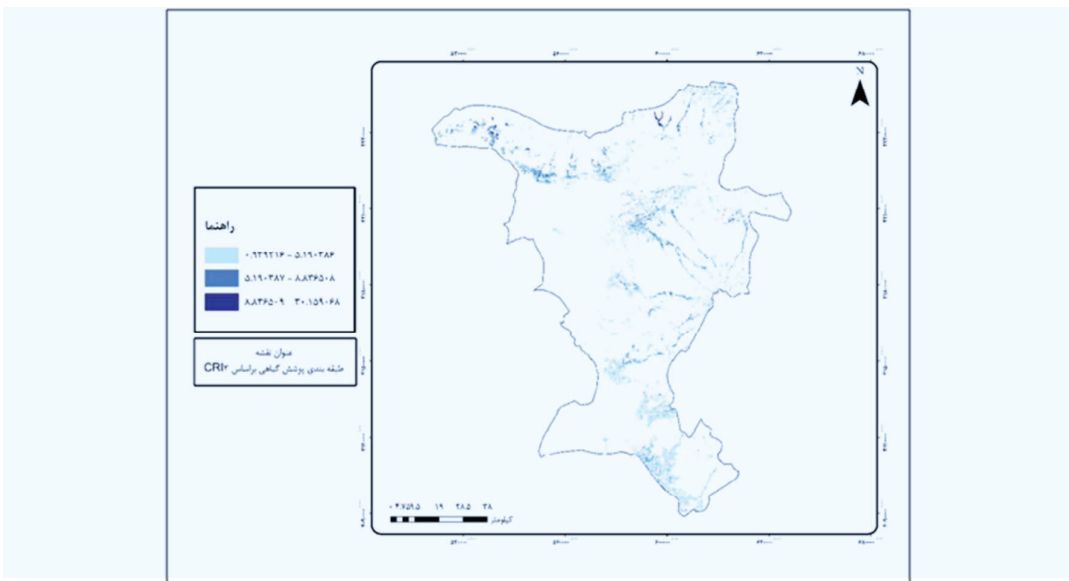
طبق نقشه شکل ۸، کلاس اول که مقادیر بین ۰/۱۲ تا ۱/۴۲ را شامل می‌شود و تعداد پوشش گیاهی زیادی را دربرگرفته است، کمترین مقدار کلروفیل را در گیاهان نشان می‌دهد. این مسئله فتوسنتز پایین در گیاه و کمبود نیتروژن در شاخ و برگ آن را می‌رساند. کلاس آخر که بیشترین ارزش عددی را شامل می‌شود، نشان دهنده سلامت و فتوسنتز گیاه و افزایش تولید محصول است. نقشه شکل ۸ موقعیت باغات را به نسبت کلاس‌های حاصل شده از شاخص کلروفیل نشان می‌دهد. معمولاً ارزش‌های عددی بالا متعلق به باغات است.

شاخص کلروفیل سبز که براساس باند ۸ و باند سبز محاسبه می‌شود، یکی دیگر از شاخص‌های محاسبه کلروفیل است. نقشه شکل ۹ ارزش‌های عددی این شاخص را در مورد سه طبقه نشان می‌دهد که نتایج به شاخص پیشین نزدیک است. مقدار ارزش عددی منفی و بسیار پایین به زمین‌های کشاورزی شرق و جنوب شرق و جنوب دریاچه تعلق دارد که معمولاً به شوره‌زارها نزدیک‌تر است.



شکل ۹. کلاس‌بندی پوشش گیاهی براساس شاخص GCI

1. Carotenoid Reflectance Index 2



شکل ۱۰. کلاس‌بندی گیاهان براساس شاخص بازتابندگی کاروتنوئید

دامنهٔ تغییرات NDVI (اختلاف مقادیر حداقل و حداکثر)، مشخص شد سال ۲۰۱۹ در بین سال‌های مورد بررسی، بیشترین دامنهٔ تغییرات (بین ۰/۲۴۱۱ تا ۰/۹۲۲۶) و سال ۲۰۱۲ کمترین میزان تغییرات (بین ۰/۰۹۰۶ تا ۰/۸۹۸۶) را داشتند (جدول ۱).

در ادامه، برای بررسی اثرگذاری یا ارتباط گردوغبار با سطح پوشش گیاهی منطقه، مقادیر غلظت گردوغبار از طریق سنجنده-۲ MERRA استخراج شد که به پنج ماه پیش از بررسی NDVI بازمی‌گردد. براین اساس با پیشروی از زمستان به بهار، بر میزان غلظت گردوغبار افزوده شده است (میانگین غلظت گردوغبار در ژانویه ۱۶/۳۶۲۸ کیلوگرم بر مترمکعب و در ماه مه ۲۷/۰۴۱۴ کیلوگرم بر مترمکعب است). این نکته، درباره بیشتر سال‌های مورد بررسی، صدق می‌کند (جدول ۲) و با توجه به افزایش رطوبت در زمستان و کاهش آن در بهار و افزایش تأثیرگذاری سایر پارامترها مانند باد، طبیعی به نظر می‌رسد. نتایج این بخش از پژوهش با نتایج پژوهش داداشی^۱ و همکاران (۲۰۲۰) بسیار

نقشهٔ شکل ۱۰ طبقات شاخص بازتابندگی کاروتنوئید را نشان می‌دهد. طبقهٔ اول که کمترین میزان ارزش عددی را دارد، پوشش گیاهی بیشتری را دربرگرفته و دلیل آن مقدار یا غلظت بالاتر کلروفیل در گیاهان یا باغات است. طبقات دارای ارزش عددی بالا که دامنهٔ گیاهان کمتری را دربرگرفته‌اند، اغلب باغات‌اند.

۵- نتایج

برای درک پراکنش پوشش گیاهی منطقه مورد مطالعه، نقشهٔ NDVI پوشش گیاهی سال‌های ۲۰۱۰ تا ۲۰۲۰ ترسیم شد (شکل ۱۱). همان‌طور که در تصاویر نیز مشاهده می‌شود، پراکنش پوشش گیاهی دارای روند نیست و در سال‌های مورد بررسی، با توجه به سایر عوامل محیطی، دچار تغییراتی شده است. برای درک بهتر موضوع، مقادیر حداقل و حداکثر و میانگین NDVI متعلق به سال‌های مورد بررسی، استخراج شد (جدول ۱). براین اساس، سال ۲۰۱۳ با مقدار ۰/۲۵۷۹ دارای کمترین و سال ۲۰۱۸ با مقدار ۰/۳۴۹۵ بیشترین میانگین پوشش گیاهی در سطح منطقه مورد مطالعه را دارد. در بررسی

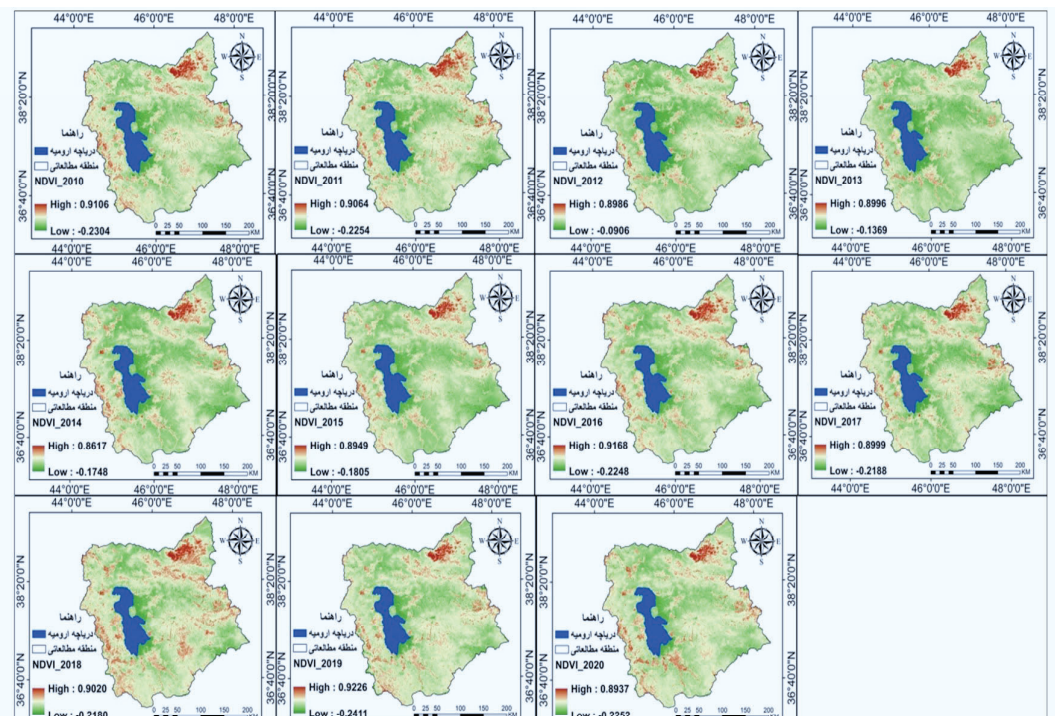
1. Dadashi

لگاریتمی بین مقادیر NDVI و میزان گردوغبار، در فاصله یک ماه پیش (مه) از بررسی شاخص NDVI و با مقدار عدد ۰/۷۹ است و کمترین میزان همبستگی نیز، در فاصله دو ماه قبل (آوریل)، با مقدار عددی ۰/۳۱ است. این شرایط درمورد رگرسیون خطی نیز همسان بوده است؛ یک ماه قبل (مه) همبستگی ۰/۷۷ و دو ماه پیش (آوریل) ۰/۳۵ بوده که به ترتیب، بیشترین و کمترین میزان همبستگی بین شاخص NDVI و غلظت گردوغبار براساس رگرسیون خطی است.

در ادامه، همبستگی بین میانگین NDVI و غلظت گردوغبار در شکل‌های ۲ و ۴ نیز، به صورت شماتیک، براساس رگرسیون لگاریتمی و خطی ارائه شده است؛ طبق آن، به جز ماه آوریل، پراکنش داده‌ها روندی مشبّت و معنادار داشته و ضرایب تبیین آن اغلب بیش از ۰/۶ بوده که همبستگی تقریباً مطلوبی است.

مطابقت دارد. این محققان، با استفاده از داده‌های پایگاه MERRA-2 پراکنش فصلی ذرات گردوغبار در ایران را بررسی کردند. در بررسی‌ها، مشخص شد کمترین میزان غلظت گردوغبار به ۰/۱۸، یعنی پنج ماه قبل از بررسی پوشش گیاهی، بازمی‌گردد و بیشترین میزان آن نیز به ماه مه ۰/۱۳ تعلق دارد که یک ماه قبل از بررسی پوشش گیاهی منطقه است. همان‌طور که در جدول ۲ نیز مشاهده می‌شود، براساس نتایج درمورد سال ۲۰۱۳، افزایش غلظت گردوغبار دقیقاً بر کاهش پوشش گیاهی (جدول ۱) منطبق است و کاهش غلظت گردوغبار در سال ۲۰۱۸ دقیقاً بر افزایش پوشش گیاهی تطبیق دارد.

جدول ۳ نشان‌دهنده ضرایب تبیین رگرسیون خطی و لگاریتمی برای یک، دو، سه، چهار و پنج ماه قبل است. براین اساس، بیشتر میزان همبستگی طبق رگرسیون



شکل ۱۱. پراکنش پوشش گیاهی منطقه مطالعه براساس شاخص NDVI در سال‌های ۲۰۱۰ تا ۲۰۲۰

تأثیر طوفان‌های گردوغبار نمکی در سلامت گیاهان در حوضهٔ شرقی دریاچه ارومیه

جدول ۱. مقادیر حداقل، حداکثر و میانگین NDVI در سال‌های ۲۰۱۰ تا ۲۰۲۰

میانگین	حداکثر	حداقل	NDVI (سال)
۰/۳۱۳۸	۰/۹۱۰۶	-۰/۲۳۰۴	۲۰۱۰/۰۶/۰۳
۰/۳۱۲۶	۰/۹۰۶۴	-۰/۲۲۵۴	۲۰۱۱/۰۶/۰۳
۰/۲۷۱۸	۰/۸۹۸۶	-۰/۰۹۰۶	۲۰۱۲/۰۶/۰۳
۰/۲۵۷۹	۰/۸۹۹۹	-۰/۲۱۸۸	۲۰۱۳/۰۶/۰۳
۰/۲۷۸۳	۰/۸۶۱۷	-۰/۱۷۴۸	۲۰۱۴/۰۶/۰۳
۰/۲۸۲۷	۰/۸۹۴۹	-۰/۱۸۰۵	۲۰۱۵/۰۶/۰۳
۰/۲۹۳۴	۰/۹۱۶۸	-۰/۲۲۴۸	۲۰۱۶/۰۶/۰۳
۰/۲۶۷۷	۰/۸۹۹۶	-۰/۱۳۶۹	۲۰۱۷/۰۶/۰۳
۰/۳۴۹۵	۰/۹۰۲۰	-۰/۲۱۸۰	۲۰۱۸/۰۶/۰۳
۰/۳۱۹۰	۰/۹۲۲۶	-۰/۲۴۱۱	۲۰۱۹/۰۶/۰۳
۰/۳۰۵۶	۰/۸۹۳۷	-۰/۲۲۵۲	۲۰۲۰/۰۶/۰۳

جدول ۲. مجموع غلظت گردوغبار (kg/m^3)

پنج ماه قبل (زانویه)	چهار ماه قبل (فوریه)	سه ماه قبل (مارس)	دو ماه قبل (آوریل)	یک ماه قبل (ماه)	غلظت گردوغبار (kg/m^3)
۱۵/۷۷	۱۶/۹۶	۱۸/۹۰	۲۶/۸۲	۲۶/۴۱	۲۰۱۰/۰۶/۰۳
۱۵/۵۴	۱۶/۴۸	۱۸/۴۰	۲۶/۶۱	۲۶/۲۳	۲۰۱۱/۰۶/۰۳
۱۶/۴۲	۱۷/۳۰	۱۹/۳۹	۲۷/۴۷	۲۷/۲۲	۲۰۱۲/۰۶/۰۳
۱۹/۲۳	۲۰/۵۰	۲۳/۶۱	۲۶/۴۱	۲۹/۱۲	۲۰۱۳/۰۶/۰۳
۱۶/۴۸	۱۷/۱۹	۱۸/۵۲	۲۶/۵۳	۲۷/۳۵	۲۰۱۴/۰۶/۰۳
۱۶/۲۷	۱۷/۱۴	۱۹/۰۴	۲۷/۲۸	۲۷/۱۱	۲۰۱۵/۰۶/۰۳
۱۵/۸۰	۱۶/۹۶	۱۸/۷۰	۲۶/۹۳	۲۶/۳۸	۲۰۱۶/۰۶/۰۳
۱۹/۰۰	۲۰/۱۶	۲۲/۵۵	۲۵/۹۵	۲۸/۵۹	۲۰۱۷/۰۶/۰۳
۱۴/۴۴	۱۴/۶۷	۱۶/۶۰	۲۲/۴۴	۲۵/۵۸	۲۰۱۸/۰۶/۰۳
۱۵/۳۲	۱۶/۳۷	۱۸/۵۷	۲۶/۵۴	۲۶/۲۳	۲۰۱۹/۰۶/۰۳
۱۵/۶۶	۱۷/۷۶	۱۸/۷۹	۲۶/۹۹	۲۷/۱۷	۲۰۲۰/۰۶/۰۳

جدول ۳. ضریب تبیین میانگین NDVI با میزان گردوغبار

معادله خطی	معادله لگاریتمی	
$y = -34.086x + 37.119$	$y = -10.34\ln(x) + 14.399$	یک ماه قبل (ماه)
$y = -29.828x + 35.186$	$y = -8.406\ln(x) + 16.093$	دو ماه قبل (آوریل)
$y = -57.683x + 36.429$	$y = -17.54\ln(x) - 2.0676$	سه ماه قبل (مارس)
$y = -50.552x + 32.359$	$y = -15.25\ln(x) - 1.2258$	چهار ماه قبل (فوریه)
$y = -46.175x + 30.015$	$y = -14.05\ln(x) - 0.8079$	پنج ماه قبل (زانویه)

۶- بحث و نتیجه‌گیری

سیستان بررسی و تحلیل کردند زیرا، براساس نتایج پژوهش مورد اشاره، بیشترین میزان گردوغبار در بهار و کمترین میزان آن در زمستان مشاهده شده است. درنهایت، برای بررسی ارتباط پراکنش پوشش گیاهی و غلظت گردوغبار، از دو روش رگرسیون لگاریتمی و خطی و ضریب تبیین استفاده شد. بدین ترتیب، با توجه به روش رگرسیون لگاریتمی، بیشترین همبستگی بین شاخص پوشش گیاهی و غلظت گردوغبار به ماه مه و با مقدار عددی 0.79 و کمترین میزان همبستگی نیز به آوریل و با مقدار عددی 0.31 بازمی‌گردد. همچنین در بررسی رگرسیون خطی مشخص شد بیشترین همبستگی بین شاخص پوشش گیاهی و غلظت گردوغبار به ماه مه، با مقدار عددی 0.77 و کمترین میزان نیز به آوریل، با مقدار عددی 0.35 تعلق دارد. نتایج این بخش از پژوهش نیز با پژوهش بیات^۳ و همکاران (۲۰۱۵) مطابقت بسیاری دارد. آنها ضریب تبیین پوشش گیاهی و گردوغبار را براساس رگرسیون خطی، 0.82 اعلام کردند. درپی کاهش آب و پوشش گیاهی اطراف دریاچه ارومیه، در حاشیه آن اراضی لخت پدید آمده و غبارزدایی در این مناطق بروز کرده است. این مسائل برای حاشیه‌نشینان دریاچه و کل جمعیت ساکن در اطراف آن، تا شعاع چندین ده کیلومتری، خطرهای بسیار زیادی دربردارد که شامل تهدید بروز گردوغبار و غبار نمک، مشکلات تنفسی و نیز نابودی اراضی کشاورزی و در کل حیات طبیعی می‌شود. با توجه به این موارد و مباحث و نتایج تحقیق، مسئولان باید، با اتخاذ تصمیماتی به موقع و درست، از وقوع بحران‌های بعدی در منطقه جلوگیری کنند.

-
1. Nabipour
 2. Raispour
 3. Bayat

نتایج بررسی شاخص NDVI نشان داد که بیشترین میزان میانگین این شاخص به سال 2018 ، با مقدار عددی 0.34 و کمترین میزان آن به سال 2013 ، با مقدار عددی 0.25 تعلق دارد. این اختلاف تقریباً 9 درصدی بین سال‌های متفاوت بیان می‌کند عوامل دیگری نیز، در میزان پراکنش پوشش گیاهی، دخیل‌اند. با این حال همان‌طور که بیان شد، شاخص NDVI از روندی ثابت در سطح منطقه مورد مطالعه پیروی می‌کند که میانگین آن، در مورد کل سال‌های بررسی شده، 0.2957 است و در بسیاری موارد، با نتایج پژوهش نبی‌بور^۱ و همکاران (۲۰۱۵) هم خوانی و تطابق دارد. این محققان تغییرات پوشش گیاهی و آلودگی آب‌های زیرزمینی در شهرستان‌های اطراف دریاچه ارومیه را ارزیابی کردند و میانگین شاخص NDVI در بین سال‌های 1373 تا 1395 را 0.30 بیان کردند. میانگین حداقل و حداکثر NDVI، در سطح منطقه، به ترتیب -0.1956 و 0.9006 است که به دامنه اختلاف مناطق دارای پوشش گیاهی و مناطق فاقد پوشش گیاهی اشاره می‌کند. میزان غلظت گردوغبار به دست آمده از طریق سنجنده-2 MERRA، برای پنج ماه قبل (ژانویه، فوریه، مارس، آوریل و مه) و به‌منظور بررسی ارتباط گردوغبار با سطح پوشش گیاهی منطقه استخراج شد. براین اساس، میانگین غلظت گردوغبار در زمستان (ژانویه، فوریه، مارس) 17.71 کیلوگرم بر مترمکعب و در بهار (آوریل و مه) 26.70 کیلوگرم بر مترمکعب است؛ به عبارتی هرچه از زمستان به‌سمت بهار پیش می‌رویم، بر میزان غلظت گردوغبار افزوده شده است و این نکته درباره بیشتر سال‌های بررسی شده صدق می‌کند. نتایج این بخش از پژوهش با نتایج تحقیق رئیس‌پور^۲ و همکاران (۲۰۱۸) هم خوانی دارد که با استفاده از مدل-2 MERRA، رفتار بلندمدت عمق اپتیکی آنروسل (AOD) را در دشت

- منابع - ۷

- Abbaszadeh Mazerji, Z., Sadeghi, S. & Hosseinzadeh, S.R., 2012, **Evaluation of the Accuracy of the Usual Methods of Estimating Climatic Data of the Studied Area: Temperature and Precipitation in the Kashf River Catchment of Mashhad**, The First National Hydrometeorological Conference, Kerman, University of Postgraduate Studies of Industry and Advanced Technology, Kerman.
- Ahmady-Birgani, H., Ravan, P., Schlosser, J.S., Cuevas-Robles, A., AzadiAghdam, M. & Sorooshian, A., 2020, **On the Chemical Nature of Wet Deposition over a Major Desiccated Lake: Case Study for Urmia Lake Basin**, Atmospheric Research, 234, P. 104762.
<https://doi.org/10.1016/j.atmosres.2019.104762>
- Alavipanah, S. K. (2013). **Thermal Remote Sensing and Its Application in the Earth Sciences** (2nd ed., p. 1387). University of Tehran.
- Bahrami, H.A.; Jalali, M., Darvishi Belorani, A. & Azizi, R., 2012, **Spatial-Temporal Modeling of Dust Storms in Khuzestan Province**, Iran Remote Sensing and GIS, 5(2), PP. 95-114.
- Bayat, R., Jafari, S., Red Spring, B. & Charkhabi, A.H., 2015, **Studying the Impact of Micro-Pollens on Vegetation Changes (Case Study: Shadgan Wetland, Khuzestan)**, Remote Sensing and Geographic Information System in Natural Resources, 7(2), PP. 17-32.
- Behrooz, R.D., Esmaili-Sari, A., Bahramifar, N., Kaskaoutis, D.G., Saeb, K. & Rajaei, F., 2017, **Trace-Element Concentrations and Water-Soluble Ions in Size-Segregated Dustborne and Soil Samples in Sistan, Southeast Iran**, Aeolian Res., 25, PP. 87-105.
<https://doi.org/10.1016/j.aeolia.2017.04.001>
- Borlina, C.S. & Rennó, N.O., 2017, **The Impact of a Severe Drought on Dust Lifting in California's Owens Lake Area**, Sci. Rep., 7, P. 1784.
<https://doi.org/10.1038/s41598-017-01829-7>
- Dadashi-Roudbari, A., Ahmadi, M. & Shakiba, A., 2020, **Seasonal Study of Dust Deposition and Fine Particles (PM 2.5) in Iran Using MERRA-2 Data**, Iranian Journal of Geophysics, PP. 43-59.
- Fan, B., Guo, L., Li, N., Chen, J., Lin, H., Zhang, X., Shen, M., Rao, Y., Wang, C. & Ma, L., 2014, **Earlier Vegetation Green-Up Has Reduced Spring Dust Storms**, Scientific Reports, 4, P. 6749.
DOI: 10.1038/srep06749
- Gao, T., Han, J., Wang, Y., Pei, H. & Lu, Sh., 2011, **Impacts of Climate Abnormality on Remarkable Dust Storm Increase of the Hunshdak Sandy Lands in Northern China during 2001–2008**, Meteorological Applications, PP. 265-278.
<https://doi.org/10.1002/met.251>
- Ghadimi, M., Zare, A., Maqquel, M. & Sahibi, M.R., 2018, **Evaluation of the Effects of Dust on the Spectral Behavior of Plants Using Remote Sensing Data**, Journal of Mapping Sciences and Techniques, 8(4), PP. 176-163.
- Gitelson, A.A., Viña, A., Ciganda, V., Rundquist, D. & Arkebauer, T.J., 2005, **Remote Estimation of Canopy Chlorophyll Content in Crops**, Geophysical Research Letter, 32, P. L08403.
<https://doi.org/10.1029/2005GL022688>
- Huang, M., Peng, G., Zhang, J. & Zhang, Sh., 2006, **Application of Artificial Neural Networks to the Prediction of Dust Storms in Northwest China**, Global and Planetary Change, 52, PP. 216-224.
<https://doi.org/10.1016/j.gloplacha.2006.02.006>
- Indoitu, R., Kozhoridze, G., Batyrbæva, M., Vitkovskaya, I., Orlovsky, N., Blumberg, D. & Orlovsky, L., 2015, **Dust Emission and Environmental Changes in the Dried Bottom of the Aral Sea**, Aeolian Res., 17, PP. 101-115.
<https://doi.org/10.1016/j.aeolia.2015.02.004>
- Issanova, G., Abduwaili, J., Galayeva, O., Semenov, O. & Bazarbayeva, T., 2015, **Aeolian Transportation of Sand and Dust in the Aral Sea region**, Int. J. Environ. Sci. Technol., 12, PP. 3213-3224.
<https://doi.org/10.1007/s13762-015-0753-x>

- Khusfi, Z.E., Roustaei, F., Ebrahimi Khusfi, M. & Naghavi, S., 2019, **Investigation of the Relationship between Dust Storm Index, Climatic Parameters, and Normalized Difference Vegetation Index Using the Ridge Regression Method in Arid Regions of Central Iran**, Arid Land Research and Management, 34(3), PP. 1-25.
- Khusfi, Z.E., Khosroshahi, M., Roustaei, F. & Mirakbari, M., 2020, **Spatial and Seasonal Variations of Sand-Dust Events and Their Relation to Atmospheric Conditions and Vegetation Cover in Semi-Arid Regions of Central Iran**, Geoderma, 365, P. 114225. <https://doi.org/10.1016/j.geoderma.2020.114225>
- Lanfredi, M.; Coppola, R.; Simonello, T.; Coluzzi, R.; D'Emilio, M.; Imbrenda, V.; Macchiato, M. **Early Identification of Land Degradation Hotspots in Complex Bio-Geographic Regions**. Remote Sens. 2015, 7, 8154-8179. <https://doi.org/10.3390/rs70608154>
- Löw, F., Navratil, P., Kotte, K., Schöler, H.F. & Bubenzer, O., 2013, **Remote-Sensing-Based Analysis of Landscape Change in the Desiccated Seabed of the Aral Sea—A Potential Tool for Assessing the Hazard Degree of Dust and Salt Storms**, Environ. Monit. Assess., 185, PP. 8303-8319. <https://doi.org/10.1007/s10661-013-3174-7>
- Merzlyak M.N., Gitelson A.A., Chivkunova O.B., Rakitin V.Y. **Non-destructive optical detection of pigment changes during leaf senescence and fruit ripening**. Physiol. Plant. 1999;106:135-141. doi: 10.1034/j.1399-3054.1999.106119.x.
- Molod, A., Takacs, L., Suarez, M. & Bacmeister, J., 2015, **Development of the GEOS-5 Atmospheric General Circulation Model: Evolution from MERRA to MERRA2**, Geoscientific Model Development, 8, PP. 1339-1356. <https://doi.org/10.5194/gmd-8-1339-2015>
- Moore, J.N., 2016, **Recent Desiccation of Western Great Basin Saline Lakes: Lessons from Lake Abert, Oregon, USA**, Sci. Total Environ., 554, PP. 142-154. <https://doi.org/10.1016/j.scitotenv.2016.02.16>
- Nabipour, Y., Arian Far, A. & Samadian, M., 2015, **Investigating Changes in Vegetation Cover on Groundwater Pollution in Urmia Plain Using RS and GIS**, 6th National Conference on Water Resources Management of Iran, Kurdistan, University of Kurdistan.
- Nagler, P.L., Inoue, Y., Glenn, E.P., Russ, A.L., Daughtry, C.S.T., 2003. **Cellulose absorption index (CAI) to quantify mixed soil-plant litter scenes**. Remote Sens. Environ. 87, 310–325. <https://doi.org/10.1016/J.RSE.2003.06.001>
- Osinowo, A.A., Okogbue, E.C., Eresanya, E.O. & Akande, O.S., 2017, **Evaluation of Wind Potential and Its Trends in the MID-ATLANTIC**, Modeling Earth Systems and Environment, 3(4), P. 45. <https://doi.org/10.1007/s40808-017-0399-4>
- Pettorelli, N., Weladji, R.B., Holand, Ø, Mysterud, A., Breie, H. & Stenseth, N.Ch., 2005, **The Relative Role of Winter and Spring Conditions: Linking Climate and Landscape-Scale Plant Phenology to Alpine Reindeer Body Mass**, Biol. Lett., 1(1), PP. 24-6. [10.1098/rsbl.2004.0262](https://doi.org/10.1098/rsbl.2004.0262)
- Pourhashemi, S., Broghni, M., Zanganeh Asadi, M.A. & Amir Ahmadi, A., 2014, **Analysis of the Relationship between Vegetation Cover and the Occurrence of Dust in Razavi Khorasan Province Using Geographic Information System and Remote Sensing**, Remote Sensing and Geographic Information System in Natural Resources, 6(4), PP. 33-45.
- Raispour, K. & Khosravi, M., 2018, **Analysis of Long-Term Behavior of Aerosol Optical Depth (AOD) in Sistan Plain Using MERRA-2 Model**, International Conference on Dust in Southwest Asia, Zabol, Zabol University.
- Rashki, A., Kaskaoutis, D.G., Eriksson, P.G., Qiang, M. & Gupta, P., 2012, **Dust Storms and Their Horizontal Dust Loading in the Sistan Region, Iran**, Aeolian Res., 5, PP. 51-62. <https://doi.org/10.1016/j.aeolia.2011.12.001>
- Rashki, A., Eriksson, P.G., Rautenbach, C.D.W., Kaskaoutis, D.G., Grote, W. & Dykstra, J.,

- 2013, **Assessment of Chemical and Mineralogical Characteristics of Airborne Dust in the Sistan Region, Iran**, Chemosphere, 90, PP. 227-236.
<https://doi.org/10.1016/j.chemosphere.2012.06.059>
- Real-Rangel, R., Pedrozo-Acuña, A., Breña-Naranjo, J.A. & Alcocer-Yamanaka, V., 2017, **Evaluation of the Hydroclimatological Variables Derived from GLDAS-1, GLDAS-2 and MERRA-2 in Mexico**, E-Proceedings of the 37th IAHR World Congress, August 13-18, Kuala Lumpur, Malaysia.
- Rienecker, M.M., Suarez, M.J., Gelaro, R., Todling, R., Bacmeister, J.T., Liu, E., Bosilovich, M.G. & Woollen, J., 2011, **MERRA: NASA's Modern-Era Retrospective Analysis for Research and Applications**, Journal of Climate, 24, PP. 3624-3648.
<https://doi.org/10.1175/JCLI-D-11-00015.1>
- Schwanghart, W. & Schutt, B., 2008, **Meteorological causes of Harmattan dust in West Africa**, Geomorphology, 95(3-4), PP. 412-428.
<https://doi.org/10.1016/j.geomorph.2007.07.002>
- Sofue, Y., Hoshino, B., Demura, Y., Kai, K., Baba, K., Nduati, E., Kondoh, A. & Sternberg, T., 2018, **Satellite Monitoring of Vegetation Response to Precipitation and Dust Storm Outbreaks in Gobi Desert Regions**, Land, 7(1), P. 19.
<https://doi.org/10.3390/land7010019>
- Sohrabi, T.S., Wali, A.A., Ranjbar Ferdavi, A. & Mousavi, S.H., 2017, **Quantitative Analysis of Vegetation Feedback on the Occurrence of Dust in Arid Ecosystems (Case Study: Isfahan Province)**, Rangeland and Watershed, Journal of Natural Resources of Iran, 71(41), PP. 973-985.
- Strong, C.L., Parsons, K., McTainsh, G.H. & Sheehan, A., 2011, **Dust Transporting Wind Systems in the Lower Lake Eyre Basin, Australia: A Preliminary Study**, Aeolian Res., 2, PP. 205-214.
<https://doi.org/10.1016/j.aeolia.2010.11.001>
- Sweeney, M.R., Zlotnik, V.A., Joeckel, R.M. & Stout, J.E., 2016, **Geomorphic and Hydrologic Controls of Dust Emissions during Drought from Yellow Lake Playa, West Texas, USA**, J. Arid Environ., 133, PP. 37-46.
<https://doi.org/10.1016/j.jaridenv.2016.05.007>
- Tan, M., 2016, **Exploring the Relationship between Vegetation and Dust-Storm Intensity (DSI) in China**, Journal of Geographical Sciences, 26(4), PP. 387-396.
<https://doi.org/10.1007/s11442-016-1275-2>
- Teillet, P.M., Staenz, K. & Williams, D.J., 1997, **Effects of Spectral, Spatial, and Radiometric Characteristics on Remote Sensing Vegetation Indices of Forested Regions**, Remote Sensing of Environment, 61, PP. 139-149. [https://doi.org/10.1016/S0034-4257\(96\)00248-9](https://doi.org/10.1016/S0034-4257(96)00248-9)
- Thenkabail, P.S., Gamage, M.S.D.N. & Samakhtin, V.U., 2002, **Evaluation of Narrowband and Broadband Vegetation Indices for Determining Optimal Hyperspectral Wavebands for Agricultural Crop Characterization**, Photogrammetric Engineering and Remote Sensing, 68, PP. 607-621.
- Tucker, C.J., 1979, **Red and Photographic Infrared Linear Combinations for Monitoring Vegetation**, Remote Sensing of Environment, 8, PP. 127-150.
[https://doi.org/10.1016/0034-4257\(79\)90013-0](https://doi.org/10.1016/0034-4257(79)90013-0)
- Xi, X. & Sokolik, I.N., 2016, **Quantifying the Anthropogenic Dust Emission from Agricultural Land Use and Desiccation of the Aral Sea in Central Asia**, J. Geophys. Res., 121, PP. 12-270.
<https://doi.org/10.1002/2016JD025556>
- Yan, Y., Xu, X., Xin, X., Yang, G., Wang, X., Yan, R. & Chen, B., 2011, **Effect of Vegetation Coverage on Aeolian Dust Accumulation in a Semiarid Steppe of Northern China**, Catena, 87(3), PP. 351-356.
<https://doi.org/10.1016/j.catena.2011.07.002>
- Yasmi, H., 2016, **Evaluation of the Accuracy of Oven Temperature Estimation of Global Temperature Databases on Iran**, Master's Thesis, Supervisor Mohammad Darend, University of Kurdistan.

Zeng, X., Lu, F., Fang, X., Wang, Y. & Guo, L.,
1998, **A Study of Dust Storm in China
Using Satellite Data in Optical Remote
Sensing of the Atmosphere and Clouds,**
SPIE, 3(301), PP. 163-168.
10.1117/12.317741

Zhang, X. & Yan, Guangjian & Li, Q. & Li,
Zhao-Liang & Wan, Huawei & Guo, Z..
(2006). **Evaluating the fraction of
vegetation cover based on NDVI spatial
scale correction model.** International Journal
of Remote Sensing. 27. 5359-5372.
10.1080/01431160600658107.



سنجش از دور

,

ایران GIS



سنجش از دور و GIS ایران سال پانزدهم، شماره چهارم، زمستان ۱۴۰۲
Vol.15, No. 4, Winter 2023 Iranian Remote Sensing & GIS

101-118

The Effect of Salt Dust Storms on the Health of Plants in the Eastern Basin of Urmia Lake

Gilreyhan F.¹, Valizadeh Kamran KH.^{2*}, Mokhtari D.², Rasouli A.A.²

1. Ph.D. Student, Dep. of Geography, Marand Branch, Marand Islamic Azad University

2. Prof. of Faculty of Planning and Environmental Sciences, Tabriz University, Tabriz

Abstract

Urmia Lake is one of the largest saltwater lakes in the world, which unfortunately is drying up and has caused many dangers and concerns, especially in relation to salt dust in its dried areas. Therefore, in this research, we tried to investigate the relationship between vegetation and dust in the cities around Lake Urmia. Salinity in plants causes physiological disorders; salt stress causes growth, photosynthesis, protein, respiration, energy production, premature senescence, water reduction in plants. Considering these effects, it was tried to evaluate the overall health of plants by using related indicators including NDVI, Clre, GCI, CRI2, NDWI, NDII, MSI, PSRI. These indicators evaluate the amount of plant water, plant water stress, photosynthesis capacity, plant growth and water deficit, the amount of chlorophyll, nitrogen and pigments, which are related to plant energy and health. According to these indicators, the health of plants is generally in a favorable condition, and mostly the highest numerical values of the indicators were assigned to gardens. Using Landsat and Sentinel 2 images and the NDVI index, the vegetation changes of the region were determined in the period from 2010 to 2020, and then using the MERRA-2 database, the amount of dust concentration was also extracted for the mentioned years. The results showed that the average NDVI in the studied area follows a constant trend with an overall average of 0.2957 and sometimes it increases or decreases due to the influence of external factors such as dust. Based on this, the highest (0.3495) average NDVI is related to 2018 and the lowest (0.2579) is related to 2013. Also, two methods of linear and logarithmic regression were used to investigate the relationship between vegetation cover and dust, and the results showed that based on the linear (0.7703) and logarithmic (0.7915) regression, the highest coefficient of explanation between the two mentioned indicators was in May.

Keywords: Dust, Plant health indicators, Salinity, Urmia Lake.

* Correspondence Address: Dep. of Remote Sensing and Geographical Information System, University of Tabriz. Tel: 09144123849

Email: valizadeh@tabrizu.ac.ir

<https://orcid.org/0000-0003-4648-842X>

<https://dx.doi.org/10.48308/gisj.2023.103099>



Copyright: © 2023 by the authors. Submitted for possible open access publication under the terms and conditions of the Creative Commons Attribution (CC BY) license (<https://creativecommons.org/licenses/by/4.0/>).